

# 世界各国における伐採木材製品の炭素貯蔵量

須鎌 秋桜子<sup>1</sup>・篠田 悠心<sup>2</sup>・加用 千裕<sup>3</sup>

<sup>1</sup> 学生会員 東京農工大学大学院農学府（〒183-8509 東京都府中市幸町 3-5-8）  
E-mail: s180548s@st.go.tuat.ac.jp

<sup>2</sup> 非会員 東京農工大学大学院連合農学研究科（〒183-8509 東京都府中市幸町 3-5-8）  
E-mail: s171521x@st.go.tuat.ac.jp

<sup>3</sup> 正会員 東京農工大学大学院農学研究院（〒183-8509 東京都府中市幸町 3-5-8）  
E-mail: kayoc@cc.tuat.ac.jp

地球温暖化緩和策へ貢献するために、世界各国における 1961～2016 年の伐採木材製品 (HWP) の炭素貯蔵量を推計した。評価アプローチに蓄積変化法、減衰関数に指數分布を用いた 2016 年の世界全体の炭素貯蔵量は 73.3 億 t-C と推計され、2015～2016 年の炭素貯蔵量の年変化は 1.1 億 t-C/year の増加となった。国毎では、2016 年の炭素貯蔵量はアメリカ、中国、ロシア、日本の順に大きく、2015～2016 年の年変化は中国の増加量が最も大きくなつた。一方、評価アプローチに現行の京都議定書の生産法を用いるとき、2016 年の世界全体の炭素貯蔵量は蓄積変化法の 68%、2015～2016 年の年変化は蓄積変化法の 75%となり、過小評価される可能性が示唆された。また、減衰関数に正規分布を用いるとき、指數分布による炭素貯蔵量の年変化と大きく異なる結果が明らかになり、HWP の推定方法における今後の重要な課題と考えられる。

**Key Words:** carbon stocks, harvested wood products, carbon accounting approach, decay function

## 1. 緒言

産業革命以降の人間活動によって、二酸化炭素をはじめとする温室効果ガスの排出量が増加し、地球温暖化の要因となつておつり、その排出量を削減することは国際的な重要課題となつてゐる<sup>1)</sup>。森林とそこから伐採された木材は、二酸化炭素の吸収源及び炭素の貯蔵場所、材料・エネルギー代替による化石燃料消費削減により、地球温暖化の緩和に貢献すると考えられている。森林を含む陸域生態系は過去 10 年間（2007 年～2016 年）に年間約 30 億トンの炭素 (t-C/year) を大気中から吸収したと推定されており<sup>2)</sup>、全世界の化石燃料燃焼・工業プロセス由来の炭素排出量の約 32%に相当した。また、世界全体の伐採木材製品 (harvested wood products: HWP) に貯蔵されている炭素は増加していることが分かつておつり、その年間増加量は 0.3～3 億 (t-C/year) と見積もられてゐる<sup>3,4)</sup>。このことから、世界全体及び世界各国において HWP の炭素貯蔵量及びその変化を正しく把握しておくことは、国際的に有効な地球温暖化対策を進める上で非常に重要である。各国における HWP の炭素貯蔵量については、アメリカ<sup>5)</sup>、カナダ<sup>6)</sup>、日本<sup>9,10)</sup>、中国<sup>11)</sup>、アイルランド<sup>12)</sup>、ポルトガル<sup>13)</sup>、EU 諸国<sup>14)</sup>等の一部の国や

地域を対象とした研究が報告されている。しかし、世界各国を対象として HWP の炭素貯蔵量の分布やその時間変化を検討した研究はこれまで報告されていない。そこで、本研究では、世界各国における HWP の炭素貯蔵量のこれまでの変遷を明らかにすることを目的とする。さらに、HWP の炭素貯蔵量は、木材貿易の取り扱いを含むシステム境界が異なる複数の評価アプローチがこれまで提案されており<sup>5,15)</sup>、主に蓄積変化法 (stock change approach: SCA)<sup>16)</sup>、大気フロー法 (atmospheric flow approach)<sup>16)</sup>、生産法 (production approach)<sup>16)</sup>、京都議定書の第二約束期間（2013～2020 年）に採用されている生産法 (production approach for the Kyoto Protocol: PAkp)<sup>17)</sup>の 4 つの評価アプローチが議論されている。2020 年以降のパリ協定では、締約国は京都議定書に引き続き PAkp を用いた値を報告することとなつておつりが、同時に他のアプローチを併用することも可能な状況である<sup>18)</sup>。また、炭素貯蔵量の推定方法において、HWP ストック量を推定するための減衰関数や半減期、木材材積から炭素量への換算係数等の違いによつて推定結果は大きく異なる可能性がある。特に減衰関数は、製材、木質パネル、紙等の各 HWP の寿命分布を表した関数であるが、気候変動に関する政府間パネル (IPCC) が推奨するガイドラインで

は、指数分布 (first order decay: FOD) が暫定関数として提示されている<sup>16,17)</sup>。しかし、最初の数年間の減衰が現実の寿命分布よりも大きく、特に長寿命の木材製品には適さないという指摘があり<sup>19)</sup>、正規分布やガンマ分布等の他の減衰関数についても検討がなされている<sup>20,22)</sup>。そこで、本研究では、世界各国における炭素貯蔵量の検討において、複数の評価アプローチや減衰関数を考慮し、それらの違いによる結果への影響を考察することとする。

## 2. 方法

### (1) 対象国及び対象期間

国連気候変動枠組条約 (UNFCCC) を批准している196ヶ国<sup>23)</sup>のうち、国連食糧農業機関 (FAO) にHWPの製品ごとの生産量、輸入量、輸出量の統計データ (FAOSTAT)<sup>24)</sup>が存在する193ヶ国を対象国とし、1961年～2016年を対象期間とした。なお、これらの国と期間における丸太生産量の合計は世界全体の98～100%を占めており<sup>24)</sup>、ほぼ世界各国を網羅できている。

### (2) 評価アプローチ

HWPの評価アプローチについては、本研究では、各国内に存在するHWPの炭素貯蔵量を解明するため、蓄積変化法 (SCA)<sup>16)</sup>を用いることとした。SCAは、国境をシステム境界とし、国内で消費されるHWPの炭素貯蔵量の変化を評価するアプローチである。一方、京都議定書第二約束期間の生産法 (PAkp)<sup>17)</sup>は、パリ協定以降も世界共通の評価アプローチとなることから<sup>18)</sup>、本アプローチも用いることとした。PAkpは、国内の森林から伐採された丸太由来のHWPの炭素貯蔵量の変化を評価するアプローチである。なお、SCA及びPAkpにおける炭素貯蔵量の推計方法は24節において詳述する。

### (3) 減衰関数

HWPの寿命分布を表す減衰関数については、簡易にストック量の減少過程を近似でき複数の先行研究<sup>5,6,25)</sup>で用いられてきたこと、IPCCのガイドライン<sup>16,17)</sup>で暫定関数として提示されていることから、指数分布 (FOD) を採用した。しかし、先述の通り、最初の数年間の減衰が現実の寿命分布よりも大きく、特に長寿命の木材製品には適さない可能性があるため<sup>19)</sup>、先行研究<sup>20,22,26)</sup>を参考に正規分布 (ND) についても検討した。FOD及びNDによる炭素貯蔵量の推計方法の詳細は次節で説明する。

### (4) 炭素貯蔵量の推計

#### a) 蓄積変化法

評価アプローチにSCA、減衰関数にFODを用いた各

国の炭素貯蔵量とその年変化の推計方法は、IPCCによる2006年のガイドライン<sup>16)</sup>のTier 1に従い、製材、木質パネル、紙・板紙、その他産業用丸太をHWPの対象とし、式(1)～(4)によって求めた。

$$\Delta C(i) = C(i+1) \quad (1)$$

$$C(i+1) = e^{-k} \cdot C(i) + \left[ \frac{(1 - e^{-k})}{k} \right] \cdot Inflow_s(i) \quad (2)$$

$$Inflow_s(i) = P(i) + I(i) - E(i) \quad (3)$$

$$k = \frac{\ln(2)}{HL} \quad (4)$$

ここで、 $i$ は年、 $\Delta C(i)$  (t-C/year) は $i$ 年におけるHWPの炭素貯蔵量の年変化、 $C(i)$  (t-C) は $i$ 年期首におけるHWPの炭素貯蔵量を表す。1961年～2016年を対象期間としたが、推定精度を高めるために1960年以前も簡易的に推定し、1900年の炭素貯蔵量 ( $C(1900)$ ) を初期値<sup>0</sup><sup>16)</sup>とした。 $Inflow_s(i)$  (t-C/year) は $i$ 年の間に国内で消費されたHWPとして炭素貯蔵プールに新たに投入される炭素量を表す。 $P(i)$ ,  $I(i)$ ,  $E(i)$  (t-C/year) はそれぞれ $i$ 年における各HWPの生産量、輸入量、輸出量を示し、1961年～2016年はFAOSTAT<sup>24)</sup>を参照し、2006年のガイドラインの炭素換算係数<sup>16)</sup>を用いて炭素量に換算した。1900年～1960年は世界各地域におけるHWPの増加率<sup>16)</sup>によって推定した。 $HL$  (year) はHWPの半減期を表し、2006年のガイドライン<sup>16)</sup>をもとに、製材、木質パネル、その他産業用丸太は30年、紙・板紙は2年を用いた。

一方、減衰関数にNDを用いた炭素貯蔵量は、上述の式(2)を下記の式(5)に変更して推計した。

$$C(i+1) = \sum_n [Inflow_s(i-n) \cdot (1 - \Phi(\frac{n-\mu}{\sigma}))] \quad (5)$$

ここで、 $n$  (year) は対象期間の各年から $i$ 年までの経過年数を表す。また、 $\Phi$ は標準正規分布の累積分布関数を示し、炭素貯蔵プールに投入された各HWPの $n$ 年経過後の残存率を表すために用いた。 $\mu$ は平均を示し、上記の各HWPの半減期 ( $HL$ )<sup>16)</sup>とした。 $\sigma$ は標準偏差を示し、各HWPの半減期 ( $HL$ ) の1/3<sup>22)</sup>を用いた。

#### b) 京都議定書の第二約束期間の生産法

評価アプローチにPAkp、減衰関数にFODを用いた各國の炭素貯蔵量とその年変化の推計方法は、IPCCによる2013年のガイドライン<sup>17)</sup>のTier 2に従い、製材、木質パネル、紙・板紙をHWPの対象（その他産業用丸太は対象外）とし、前述の式(2)(3)を以下の式(6)～(9)に変更して求めた。

$$C(i+1) = e^{-k} \cdot C(i) + \left[ \frac{(1 - e^{-k})}{k} \right] \cdot Inflow_p(i) \quad (6)$$

$$Inflow_p(i) = P(i) \cdot D(i) \quad (7)$$

$$D(i) = \frac{[IRW_p(i) - IRW_E(i)]}{[IRW_p(i) + IRW_I(i) - IRW_E(i)]} \quad (8)$$

$$D(i) = \frac{[IRW_P(i) - IRW_E(i)]}{[IRW_P(i) + IRW_I(i) - IRW_E(i)]} \cdot \frac{[WP_P(i) - WP_E(i)]}{[WP_P(i) + WP_I(i) - WP_E(i)]} \quad (9)$$

ここで、 $Inflow_P(i)$  (t-C/year) は  $i$  年の間に国内の森林から伐採された丸太から生産された HWP として炭素貯蔵プールに新たに投入される炭素量を表す。 $D(i)$  は  $i$  年の間に国内で生産された HWP のために消費された原材料のうち国内の森林から伐採された丸太由来の割合を示し、製材と木質パネルは式(8)、紙・板紙は式(9)を用いた<sup>17)</sup>。 $IRW_I(i)$ 、 $IRW(i)$  及び  $IRW_E(i)$  (t-C/year) はそれぞれ  $i$  年における産業用丸太の生産量、輸入量及び輸出量を示し、1961 年～2016 年は FAOSTAT<sup>24)</sup> から数値を引用し、2013 年のガイドラインの炭素換算係数<sup>17)</sup>によって炭素量へ換算した。1900 年～1960 年は 2006 年のガイドラインの HWP の増加率<sup>16)</sup>を用いて推定した。 $WP_P(i)$ 、 $WP_I(i)$  及び  $WP_E(i)$  (tC/yr) はそれぞれ  $i$  年における木材・パルプの生産量、輸入量及び輸出量における炭素量を表し、同様に FAOSTAT<sup>24)</sup>、炭素換算係数<sup>17)</sup>、増加率<sup>16)</sup>により算定した。なお、式(4)における半減期 ( $HL$ ) については、2013 年のガイドライン<sup>17)</sup>を参照し、製材で 35 年、木質パネルで 25 年、紙・板紙で 2 年を用いた。

また、減衰関数に ND を用いた炭素貯蔵量の推計には、前述の式(5)を用いたが、 $Inflows(i)$  は  $Inflow_P(i)$  とし、 $HL$  は 2013 年のガイドラインの半減期<sup>17)</sup>を引用した。

### 3. 結果・考察

#### (1) 世界全体における HWP の炭素貯蔵量

1961 年～2016 年における世界全体の HWP の炭素貯蔵量を図-1 に、炭素貯蔵量の年変化を図-2 に示した。SCA・FOD で推定した各国内に存在する HWP の炭素貯蔵量の世界合計は、1961 年以降増加し続け、2016 年時点の世界全体の炭素貯蔵量は、約 73.3 億 tC と推計された。これは 1961 年の炭素貯蔵量と比較して約 2.5 倍であった。また、世界全体の炭素貯蔵量の年変化は、全対象期間において増加し、炭素排出削減に貢献していることが分かった。1998 年～1999 年の年変化が約 0.5 億 tC/year で最も小さく、2015 年～2016 年の年変化が約 1.1 億 tC/year で最も大きく、約 2.1 倍の差が生じる結果となった。

SCA・FOD による世界全体の結果を先行研究と比較すると、Lauk et al. (2012)<sup>9</sup> が報告している 1961 年～2008 年の世界全体の HWP の炭素貯蔵量と本研究の結果はよく一致しており、両者の差は 3%未満であった。炭素貯蔵量の年変化においても、両者の差は 7%未満と僅かであることが確認された。一方、Pingoud et al. (2003)<sup>5</sup> の 1961 年～2000 年の結果では、炭素貯蔵量は約 15～33 億 tC、年変化は約 0.3～0.6 億 tC/year と報告されており、本研究の結果よりも小さい値となった。この様な違いが生じた原

因として、用いた HWP の半減期、炭素換算係数、1960 年以前の HWP の増加率等の違いが影響していると考えられる。

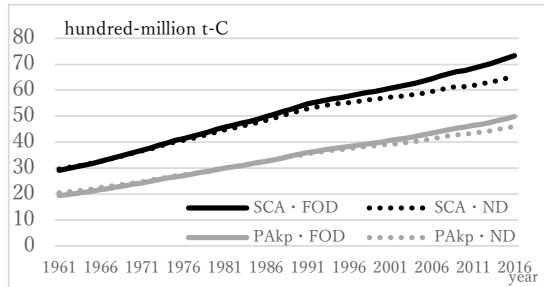


図-1 世界全体における HWP の炭素貯蔵量 (億 tC)

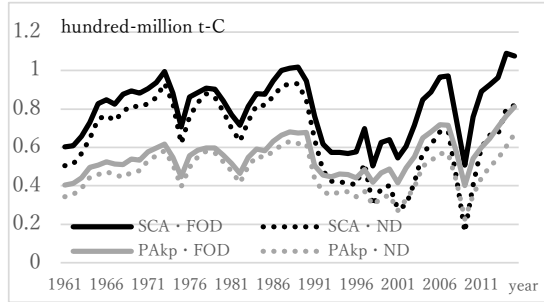


図-2 世界全体における HWP の炭素貯蔵量の年変化 (億 tC/year)

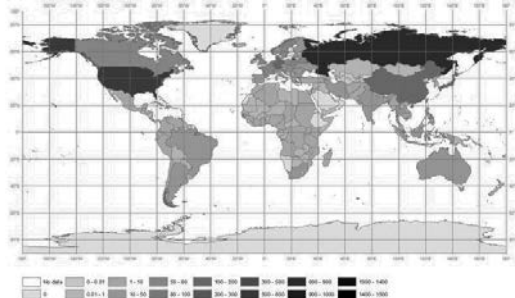


図-3 1961 における HWP の炭素貯蔵量の世界分布 (評価アプローチ : SCA、減衰関数 : FOD) (百万 tC)

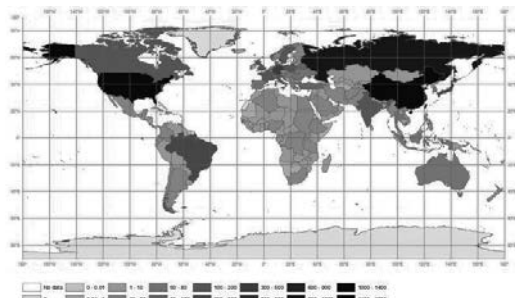


図-4 2016 における HWP の炭素貯蔵量の世界分布 (評価アプローチ : SCA、減衰関数 : FOD) (百万 tC)

## (2) 世界各国における HWP の炭素貯蔵量

SCA・FOD による世界各国における 1961 年の HWP の炭素貯蔵量の分布図を図-3 に、2016 年の分布図を図-4 に示した。2016 年の各国の炭素貯蔵量は大きい順に、アメリカで約 14.1 億 t-C, 中国で約 10.8 億 t-C, ロシアで約 9.2 億 t-C, 日本で約 4.0 億 t-C, ドイツで約 3.2 億 t-C となつた。1961 年と比較すると、アメリカは約 2.4 倍、ロシアは約 1.2 倍、日本は約 2.3 倍、ドイツは約 2.1 倍と 1~2 倍程度へ増加していたのに対し、中国は約 8.4 倍へ大幅に増加していることが分かった。また、各国における 2015 年～2016 年の炭素貯蔵量の年変化において、増加した国は大きい順に、中国で約 0.72 億 t-C/year、アメリカで約 0.07 億 t-C/year、トルコ、ブラジル、カナダで約 0.03 億 t-C/year となり、中国が顕著に大きく世界全体の年変化の約 67% を占めていた。一方、年変化が減少した国は、ロシアの約 -0.12 億 t-C/year が最も大きく、1991 年のソビエト連邦崩壊以降の HWP 消費量の減少<sup>24)</sup>が影響したと考えられる。続いて、日本の約 -0.02 億 t-C/year が大きく、1990 年代後半以降の HWP 消費量の減少傾向<sup>24)</sup>が寄与したと考えられる。

さらに、世界各国における国土面積<sup>27)</sup>及び人口<sup>28)</sup>を用いて、2016 年における国土面積当たりの炭素貯蔵量 (t-Cha)，人口当たりの炭素貯蔵量 (t-C/person) を算定した。国土面積当たりの炭素貯蔵量は大きい順に、シンガポールで約 104t-Cha、バルバドス、ベルギー、ルクセンブルグで約 12t-Cha、マルタで約 11t-Cha となつた。これらの国の特徴としては、国土面積が世界全体の平均値よりも小さいことがあげられる。さらに人口当たりの炭素貯蔵量は大きい順に、スウェーデンで約 14t-C/person、ラトビアで約 11t-C/person、ペラルーシとエストニアで約 9t-C/person、フィンランドで約 8t-C/person となり、いずれも欧州諸国であった。これらの国々では、全期間を通して HWP の消費量よりも生産量が大きく、人口に対する生産量も大きい傾向が確認された。なお、炭素貯蔵量の総量が大きいアメリカや中国は国土面積あるいは人口当たりの炭素貯蔵量では上位国ではなかつた。

## (3) 評価アプローチの比較

世界全体における HWP の炭素貯蔵量を評価アプローチ (SCA と PAkp) 間で比較すると、2016 年時点の炭素貯蔵量 (図-1) は、PAkp・FOD で 49.9 億 t-C となり、SCA・FOD の約 68% に留まつた。また、2015 年～2016 年の炭素貯蔵量の年変化 (図-2) は、PAkp・FOD で約 0.8 億 t-C/year となり、SCA・FOD の約 75% と小さかつた。これは、両アプローチにおける HWP の対象製品、輸出丸太の取り扱い、炭素換算係数の違い等が影響していると考えられる。PAkp では、その他産業用丸太が HWP の対象外とされていること<sup>17)</sup>、自国の森林から伐採された

丸太のうち他国の HWP の生産のために国外へ輸出されたものはどこの国のものとしてもカウントされていないこと<sup>17)</sup>、SCA<sup>16)</sup>と比べて炭素換算係数に小さい値が用いられていること<sup>17)</sup>等により、SCA よりも炭素貯蔵量が小さく評価されていると考えられる。

また、世界各国の炭素貯蔵量の分布における SCA 及び PAkp の違いに着目すると、2016 年時点において対象 193ヶ国の中 87% に相当する 167ヶ国で SCA の炭素貯蔵量の方が PAkp よりも大きい値をとる結果となつた。PAkp・FOD で推計した 2016 年時点の各国の炭素貯蔵量は大きい順に、アメリカで約 10.4 億 t-C、ロシアで約 6.8 億 t-C、中国で約 5.1 億 t-C、カナダで約 4.1 億 t-C、ドイツで約 2.1 億 t-C となつた。特に、カナダは PAkp の炭素貯蔵量が SCA の約 2.1 倍で大きく、全期間において HWP の生産量が消費量よりも大きいことが影響していた。一方、中国は PAkp が SCA の約 47% に留まり、カナダと対照的に HWP の消費量が生産量よりも大きい特徴が確認された。また、アフリカや中東の地域の国々を中心に、PAkp よりも SCA の方が 10 倍以上大きい値となつた。この理由としては、全期間においてアフリカや中東の地域で HWP の消費量とそれに伴う輸入量が増えている<sup>24)</sup>ことが考えられる。

## (4) 減衰関数の比較

減衰関数 (FOD と ND) の違いに着目すると、SCA における 2016 年時点の世界全体の炭素貯蔵量 (図-1) は、ND で約 65.4 億 t-C となり、FOD の約 89% に留まつた。PAkp においては、ND で約 46.1 億 t-C と推計され、FOD の約 93% に相当した。SCA では、1966 年までは FOD の炭素貯蔵量の方が ND よりも小さい値をとるが、1967 年以降は両者の大小関係が逆転することが分かつた。この原因として、FOD は経過年数の初期の減衰が ND よりも大きいが、後期の減衰は ND よりも小さくなる寿命分布関数であることが挙げられる。PAkp においても同様の傾向が確認されたが、1984 年以降に FOD と ND の大小関係が逆転する結果となつた。HWP の内生産量及び貿易量の大きい製材<sup>24)</sup>の半減期の違いが影響していると考えられる。SCA では 30 年<sup>16)</sup>、PAkp では 35 年<sup>17)</sup>を用いており、この差によって PAkp における FOD と ND の大小関係が逆転する時期が SCA よりも延長された可能性がある。ただし、減衰関数の違いによる炭素貯蔵量の推定結果への影響は評価アプローチの違いによる影響よりも小さいことが確認された。

一方、世界全体の炭素貯蔵量の年変化 (図-2) は、評価アプローチによらず全期間において ND による炭素貯蔵量の年変化が FOD の年変化よりも小さかつた。特に 1990 年代以降に両者の差は大きくなり、2008 年におけるリーマンショックが影響したと考えられる 2009 年～2010

年の年変化の違いが最も大きく SCA で 3.2 倍, PAkp で 1.8 倍の差が生じた。このことから、近年は減衰関数の違いによる炭素貯蔵量の年変化の推定結果への影響が評価アプローチの違いによる影響と同等あるいはそれ以上であることが分かった。

## 4. 結論

本研究では、世界各国における 1961 年～2016 年の伐採木材製品 (HWP) の炭素貯蔵量を推定した。さらに、HWP の貿易の取り扱いが異なる評価アプローチや HWP の寿命分布を表す減衰関数を複数考慮し、それらの違いによる結果への影響を考察した。得られた主な知見を以下の 4 点にまとめた。

1. IPCC による 2006 年のガイドラインに従って、評価アプローチに蓄積変化法 (SCA), 減衰関数に指指数分布 (FOD) を用いて推定した HWP の炭素貯蔵量の世界合計は、2016 年時点での約 73.3 億 t-C となり、過去 55 年間で約 2.5 倍に増加した。また、炭素貯蔵量の年変化も対象期間全体を通して増加しており、2015 年～2016 年の年増加は約 1.1 億 t-C/year であった。
2. 各国における HWP の炭素貯蔵量は、2016 年時点でアメリカ、中国、ロシア、日本、ドイツの順に大きく、特に中国は過去 55 年間で約 8.4 倍へ大幅に増加していた。炭素貯蔵量の年変化は、中国が最も大きく、2015 年～2016 年の世界全体の年変化の約 67% を占めた。また、国土面積当たりの炭素貯蔵量が大きい国は国土面積が小さい特徴があり、人口当たりの炭素貯蔵量が大きい国は欧洲諸国に集中していた。
3. IPCC による 2013 年のガイドラインに従い、現行の京都議定書による生産法 (PAkp) を用いると、2016 年時点の世界全体の炭素貯蔵量は SCA の約 68% に、2015 年～2016 年の年変化は SCA の約 75% に留まった。両アプローチにおける HWP の対象製品、輸出丸太の取り扱い、炭素換算係数の違いが主な原因で、対象国全体の 87% の国で PAkp は SCA よりも炭素貯蔵量が低く評価されることが分かった。パリ協定以降も現行の京都議定書のアプローチを採用すると、HWP の炭素貯蔵量は世界全体で過小評価される可能性がある。
4. 減衰関数に正規分布 (ND) を用いた世界全体の炭素貯蔵量は、2016 年時点での FOD の炭素貯蔵量の約 89% に留まることが分かった。炭素貯蔵量の年変化では、減衰関数の違いは評価アプローチの違いと同等あるいはそれ以上に推定結果に影響することが明らかになり、HWP の推定方法における今後の重要検討課題と考えられる。

謝辞：本研究は JSPS 科研費 16K21023 の支援により行われました。

## 参考文献

- 1) Intergovernmental Panel on Climate Change (IPCC) : Climate Change 2014, Fifth Assessment Report, Mitigation of Climate Change, Cambridge University Press, NY, 2014.
- 2) Le Quéré, C., Andrew, R. M., Friedlingstein, P., Sitch, S., Pongratz, J., ... and Zhu, D. : Global carbon budget 2017. *Earth Syst. Sci. Data* 10, pp. 405–448, 2018.
- 3) Winiw, J.K., Brown, S., Schlamadinger, B. : Forest harvests and wood products: sources and sinks of atmospheric carbon dioxide. *Forest Sci.*, 44(2), pp. 272–284, 1998.
- 4) IPCC : Land Use, Land-Use Change and Forestry, A Special Report of the Intergovernmental Panel on Climate Change, Cambridge University Press, UK, p. 209, 2000.
- 5) Pingoud, K., Perälä, A-L., Soimakallio, S., Pussinen, A. : Greenhouse gas impacts of harvested wood products: evaluation and development of methods, VTT Research Notes 2189, VTT Information Service, Finland, pp. 24–27, 2003.
- 6) Lauk, C., Haberl, H., Erb, K-H., Gingrich, S., Krausmann, F. : Global socioeconomic carbon stocks in long-lived products 1900–2008. *Environ. Res. Lett.*, 7, 034023, 2012.
- 7) Nepal, P., Ince, P. J., Skog, K. E., Chang, S. J. : Projection of US forest sector carbon sequestration under US and global timber market and wood energy consumption scenarios, 2010–2060. *Biomass Bioenergy* 45, pp. 251–264, 2012.
- 8) Smyth, C. E., Stinson, G., Neilson, E., Lemière, T. C., Hafer, M., Rampley, G. J., Kurz, W. A. : Quantifying the biophysical climate change mitigation potential of Canada's forest sector. *Biogeosciences*, 11(1), pp. 3515–3529, 2014.
- 9) Kayo, C., Tsunetsugu, Y., Tonosaki, M. : Climate change mitigation effect of harvested wood products in regions of Japan. *Carbon Balance Manag.*, 10:24, 2015.
- 10) Kayo, C., Tsunetsugu, Y., Noda, H., Tonosaki, M. : Carbon balance assessments of harvested wood products in Japan taking account of inter-regional flows. *Environ. Sci. Policy* 37, pp. 215–226, 2014.
- 11) Zhang, L., Sun, Y., Song, T., Xu, J. : Harvested Wood Products as a Carbon Sink in China, 1900–2016. *Int. J. Environ. Res. Public Health*, 16(3), 445, 2019.
- 12) Donlan, J., Skog, K., Byme, K. A. : Carbon storage in harvested wood products for Ireland 1961–2009. *Biomass Bioenergy*, 46, pp. 731–738, 2012.
- 13) Dias, A. C., Arroja, L., Capela, I. : Carbon storage in harvested wood products: implications of different methodological procedures and input data—a case study for Portugal. *Eur. J. Forest Res.*, 131(1), pp. 109–117, 2012.
- 14) Brunet-Navarro, P., Jochheim, H., Muys, B. : The effect of increasing

- lifespan and recycling rate on carbon storage in wood products from theoretical model to application for the European wood sector. *Mitig. Adapt. Strateg. Glob. Change.*, 22(8), pp. 1193–1205, 2017.
- 15) Lim, B., Brown, S., Schlamadinger, B. : Carbon accounting for forest harvesting and wood products: review and evaluation of different approaches. *Environ. Sci. Policy* 2, pp. 207–216, 1999
- 16) IPCC : 2006 IPCC Guidelines for National Greenhouse Gas Inventories, National Greenhouse Gas Inventories Programme, *Institute for Global Environmental Strategies*, Japan, pp. 12.5–12.33, 2006.
- 17) IPCC : 2013 Revised Supplementary Methods and Good Practice Guidance Arising from the Kyoto Protocol, IPCC, Switzerland, pp. 2.109–2.134, 2014.
- 18) United Nations Framework Convention on Climate Change (UNFCCC) : Preparations for the implementation of the Paris Agreement and the first session of the Conference of the Parties serving as the meeting of the Parties to the Paris Agreement, FCCC/CP/2018/L.23, UNFCCC, Poland, p. 11, 2014.
- 19) Marland, E., Marland, G. : The treatment of long-lived, carbon-containing products in inventories of carbon dioxide emissions to the atmosphere. *Environ. Sci. Policy.*, 6(2), pp. 139–152, 2003.
- 20) Marland, E. S., Stellar, K., Marland, G. H. : A distributed approach to accounting for carbon in wood products. *Mitig. Adapt. Strateg. Glob. Change*, 15(1), pp. 71–91, 2010.
- 21) Cherubini, F., Guest, G., Strømman, A. H. : Application of probability distributions to the modeling of biogenic CO<sub>2</sub> fluxes in life cycle assessment. *GCB Bioenergy.*, 4, pp. 784–798, 2012.
- 22) Fishman, T., Schandl, H., Tanikawa, H., Walker, P., Krausmann, F. : Accounting for the material stock of nations. *J. Ind. Ecology.*, 8(3), pp. 407–420, 2014.
- 23) UNFCCC : Status of Ratification of the Convention, <https://unfccc.int/process/the-convention/news-and-updates> (2018年11月16日参照).
- 24) Food and Agriculture Organization of the United Nations (FAO) : FAOSTAT, Forestry Production and Trade, <http://www.fao.org/faostat/en/#data/FO> (2018年11月16日参照).
- 25) Skog, K. E., Pingoud, K., Smith, J. E. : A method countries can use to estimate changes in carbon stored in harvested wood products and the uncertainty of such estimates. *Environ. Manag.* 33, pp. S65–S73, 2004.
- 26) Kalt, G. : Carbon dynamics and GHG implications of increasing wood construction: long-term scenarios for residential buildings in Austria. *Carbon Manag.* 9(3), pp. 265–275, 2018.
- 27) FAO : FAOSTAT, Land Use, <http://www.fao.org/faostat/en/#data/RL> (2019年5月20日参照).
- 28) FAO : FAOSTAT, Annual Population, <http://www.fao.org/faostat/en/#data/OA> (2019年5月20日参照).

(Received June 19, 2019)

## CARBON STOCKS IN HARVESTED WOOD PRODUCTS IN VARIOUS COUNTRIES OF THE WORLD

Akiko SUYARI, Yushin SHINODA and Chihiro KAYO

With the aim of supporting measures for climate change mitigation, we estimated carbon stocks in harvested wood products (HWP) in various countries of the world between 1961 and 2016. Global carbon stocks in 2016 using the stock change approach (SCA) as the carbon accounting approach and the first order decay (FOD) as the decay function were estimated to be 73.3 hundred million t-C. It was confirmed that the annual increase of global carbon stocks between 2015 and 2016 was 1.1 hundred million t-C/year. At the national scale, the largest carbon stocks of HWP, listed in descending order, were in the United States of America, China, the Russian Federation, and Japan in 2016. With respect to the annual change of carbon stocks between 2015 and 2016, China contributed the most to the global annual increase. On the other hand, global carbon stocks in 2016 using the production approach for the second commitment period of the Kyoto Protocol (PAkp) were estimated to be 68% of those using the SCA, and annual increases of carbon stocks between 2015 and 2016 were estimated to be 75% of those using the SCA. Therefore, we found that the PAkp could lead to underestimation of the global carbon stocks in HWP. Furthermore, annual changes of carbon stocks obtained using the normal distribution for the decay function varied significantly from those obtained using the FOD, suggesting that decay functions for an appropriate method for estimating carbon stocks of HWP need to be reconsidered.